

УДК 519.6

## ИСПОЛЬЗОВАНИЕ УСЕЧЕННОГО ВАРИАНТА АЛГОРИТМА SPIKE БИБЛИОТЕКИ INTEL ADAPTIVE SPIKE-BASED SOLVER ДЛЯ РЕШЕНИЯ УПРУГОПЛАСТИЧЕСКИХ ЗАДАЧ

А. В. Толмачев<sup>1</sup>, А. В. Коновалов<sup>1</sup>, А. С. Партин<sup>1</sup>

Исследованы возможности усеченного алгоритма SPIKE библиотеки Intel Adaptive SPIKE-Based Solver для распараллеливания решения систем линейных уравнений, возникающих при дискретизации упругопластических задач. Исследование проводилось на примере задачи сжатия цилиндра. Расчеты выполнены на кластере im64 Института математики и механики УрО РАН. Работа выполнена в рамках программы Президиума РАН "Интеллектуальные информационные технологии, математическое моделирование, системный анализ и автоматизация". Статья рекомендована к публикации Программным комитетом Международной научной конференции "Параллельные вычислительные технологии" (ПАВТ-2011; <http://agoga.guru.ru/pavt2011>).

**Ключевые слова:** алгоритм SPIKE, системы линейных алгебраических уравнений, упругопластические задачи.

**1. Постановка упругопластической задачи.** Упругопластическая задача с большими пластическими деформациями физически и геометрически существенно нелинейна и требует больших затрат компьютерного времени. На решение двумерной задачи затрачивается несколько часов, для трехмерной задачи это время увеличивается до нескольких суток. Существенно сократить время вычислений можно с помощью техники параллельных вычислений, в частности решая такие задачи на кластерных системах.

Решение упругопластических задач методом конечных элементов осуществляется шагами по нагрузке. На каждом таком шаге процесс решения состоит из трех основных этапов [1]:

1) расчет локальных матриц жесткости для конечных элементов и формирование матрицы  $A$  (глобальной матрицы жесткости) и вектора  $F$  правой части системы линейных алгебраических уравнений

$$AX = F, \quad (1)$$

где  $X$  — искомый вектор обобщенной скорости в узлах конечно-элементной сетки;

2) решение линейной системы (1);

3) вычисление напряженно-деформированного состояния в конечных элементах в конце шага нагрузки.

Матрица  $A$  имеет ленточный вид. На каждом шаге нагрузки этап 1 осуществляется один раз, а этапы 2 и 3 — от десяти до пятнадцати раз для выполнения условия пластичности с требуемой точностью. В процессе решения матрица жесткости не меняется, а изменяется только правая часть системы уравнений.

Если этапы 1 и 3 легко распараллеливаются, то распараллеливание процесса решения линейной системы является сложной задачей. Решение этой задачи итерационными методами рассмотрено в работе [2]. Исследование эффективности распараллеливания трехдиагонального алгоритма LU-разложения из библиотеки ScaLAPACK [3] при решении получающейся линейной системы приведено в [4].

Цель настоящей статьи состоит в исследовании возможностей параллельного алгоритма SPIKE [5, 6] для решения линейных систем в упругопластических задачах на кластерных системах.

Все численные эксперименты проводились на кластерной системе im64 Института математики и механики УрО РАН на примере решения методом конечных элементов задачи сжатия плоскими плитами цилиндра из упругопластического изотропного и изотропно-упрочняемого материала, постановка которой приведена в работе [2].

**2. Описание алгоритма SPIKE.** Решатель систем линейных уравнений Intel Adaptive SPIKE-Based Solver доступен по адресу <http://software.intel.com/en-us/articles/intel-adaptive-spike-based-solver/>. Лежащий в его основе алгоритм SPIKE для решения системы с ленточной матрицей состоит из трех

<sup>1</sup> Институт машиноведения Уральского отделения РАН, ул. Комсомольская, 34, 620049, г. Екатеринбург; А. В. Толмачев, инженер, e-mail: [tolmachev.arseny@gmail.com](mailto:tolmachev.arseny@gmail.com); А. В. Коновалов, зав. лаб., e-mail: [avk@imach.uran.ru](mailto:avk@imach.uran.ru); А. С. Партин, ст. науч. сотр., e-mail: [lmd@imach.uran.ru](mailto:lmd@imach.uran.ru)

этапов: разбиение системы, разложение матрицы системы и решение системы с разложенной матрицей. На первом этапе систему уравнений разделяют на участки, удобные для дальнейшей работы, на втором этапе производится разложение матрицы системы на более удобные для решения матрицы, а на последнем этапе происходит непосредственно решение системы с использованием полученных матриц.

**2.1. Разбиение системы.** Рассмотрим систему (1) с ленточной матрицей  $A$  размерности  $n \times n$  с узкой лентой и матрицей-столбцом  $F$ . Разобьем матрицы  $A$  и  $F$  на  $p$  участков горизонтальными линиями и распределим  $i$ -й участок разбиения на  $i$ -й процессор.

Рисунок 1 показывает распределение матриц  $A$  и  $F$  для  $p = 4$ . Выделим на  $i$ -м участке разбиения три блока: диагональный квадратный блок  $A_i$  ( $i = 1, \dots, p$ ), который имеет порядок  $n_i$ ; наддиагональный квадратный блок  $B_i$  ( $i = 1, \dots, p - 1$ ) и поддиагональный квадратный блок  $C_i$  ( $i = 2, \dots, p$ ). Поскольку лента матрицы  $A$  узкая, то порядки блоков  $B_i$  и  $C_i$ , равные  $m$ , будут много меньше  $n_i$ .

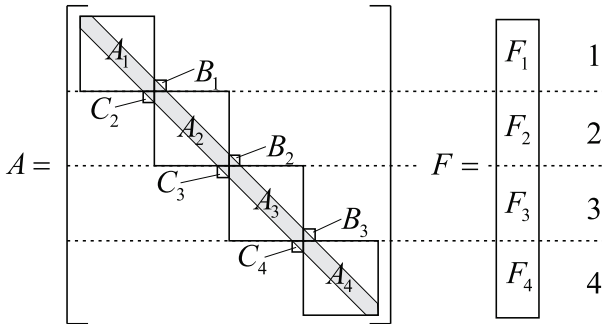


Рис. 1. Распределение матрицы системы  $A$  и правой части  $F$  на 4 процессора

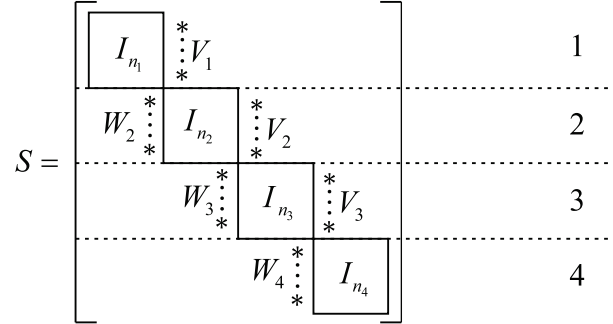


Рис. 2. Матрица  $S$ , распределенная на 4 процессора

**2.2. Разложение матрицы системы.** На этом этапе вычисляется разложение матрицы системы  $A$  в виде

$$A = DS, \tag{2}$$

где  $D$  — матрица, составленная только из диагональных блоков  $A_i$ ,  $D = \text{diag}(A_1, \dots, A_p)$ , а матрица  $S$ , показанная на рис. 2, вычисляется путем умножения  $i$ -го участка разбиения матрицы  $A$  на матрицу  $A_i^{-1}$  слева. Матрица  $S$  имеет на диагонали единичные матрицы  $I_{n_i}$  порядка  $n_i$ , а ее внедиагональные блоки состоят из матриц  $V_i$  ( $i = 1, \dots, p - 1$ ) и  $W_i$  ( $i = 2, \dots, p$ ). Матрицы  $V_i$  и  $W_i$  называют шипами (spikes) из-за того, что они имеют размерность  $n_i \times m$ , т.е. являются узкими и высокими.

Шипы  $V_i$  и  $W_i$  находятся из решения матричного уравнения

$$A_i[V_i \ W_i] = \begin{bmatrix} 0 & C_i \\ \vdots & 0 \\ 0 & \vdots \\ B_i & 0 \end{bmatrix}. \tag{3}$$

**2.3. Решение системы с разложенной матрицей.** После разложения матрицы  $A$  в виде (2) решение системы (1) сводится к последовательному решению двух систем

$$DG = F, \tag{4}$$

$$SX = G. \tag{5}$$

Решение системы (4) может быть выполнено полностью параллельно, поскольку ее матрица состоит лишь из диагональных блоков.

Представим шипы  $V_i$  и  $W_i$  следующим образом:  $V_i = [V_i^t, V_i^r, V_i^b]^T$  и  $W_i = [W_i^t, W_i^r, W_i^b]^T$ , где  $V_i^t$ ,  $V_i^r$ ,  $V_i^b$  и  $W_i^t$ ,  $W_i^r$ ,  $W_i^b$  — соответственно верхние  $m$ , средние  $n_i - 2m$  и нижние  $m$  рядов шипов  $V_i$  и  $W_i$ . Аналогично локальные части матрицы неизвестных и матрицы правой части  $X_i$  и  $G_i$  разбиваются в виде  $X_i = [X_i^t, X_i^r, X_i^b]^T$  и  $G_i = [G_i^t, G_i^r, G_i^b]^T$ . Из системы (5) формируется сокращенная система

$$\widehat{S}\widehat{X} = \widehat{G}, \tag{6}$$

состоящая из  $m$  рядов матричного уравнения (5), находящихся выше и ниже линий разделения матриц этой системы (это возможно, поскольку  $m \ll n$ ). Порядок этой системы равен  $2m(p - 1)$ . Матрица сокращенной системы при распределении исходной системы уравнений на 4 процессора показана на рис. 3. В систему (6) входят только части матриц  $V_i, W_i, X_i$  и  $G_i$  с верхними индексами  $b$  и  $t$ . Блоки  $I_m$  являются единичными матрицами порядка  $m$ .

Матрица системы (6) является блочно-трехдиагональной с  $(p - 1)$  диагональными блоками,  $i$ -й из которых имеет вид  $\begin{bmatrix} I_m & V_i^b \\ W_{i+1}^t & I_m \end{bmatrix}$ . Левый и правый  $i$ -й внедиагональные блоки соответственно выглядят следующим образом:  $\begin{bmatrix} W_i^b & 0 \\ 0 & 0 \end{bmatrix}$  и

$\begin{bmatrix} 0 & 0 \\ 0 & V_{i+1}^t \end{bmatrix}$ . Блок неизвестных и правая часть, соответствующие  $i$ -му диагональному блоку, имеют вид  $[X_i^b, X_{i+1}^t]^T$  и  $[G_i^b, G_{i+1}^t]^T$ .

После вычисления решения системы (6) общее решение системы (1) вычисляется по формулам

$$X_1^r = G_1^r - V_1^r X_2^t, \quad X_i^r = G_i^r - V_i^r X_{i+1}^t - W_i^r X_{i-1}^b, \quad i = 2, \dots, p - 1, \quad X_p^r = G_p^r - W_p^r X_{p-1}^t.$$

**2.4. Усеченный вариант алгоритма SPIKE.** Если матрица системы  $A$  имеет диагональное преобладание, т.е. выполняется условие  $|a_{ii}| > \sum_{i \neq j} |a_{ij}|$ , то шипы  $W_i$  и  $V_i$  практически полностью состоят из нулей [5]. Это позволяет при решении системы (6) отбросить ее внедиагональные блоки. Полученная система называется усеченной. Тогда достаточно вычислять только те части шипов, которые входят в диагональные блоки системы (6).

**2.5. Распараллеливание процесса решения.** Этап разложения матрицы выполняется полностью параллельно, поскольку для вычислений достаточно данных, находящихся на локальном процессоре. При этом происходит вычисление LU-разложения [7] блоков  $A_i$ , после этого вычисляются шипы как решение матричного уравнения (3). Решение системы (4) также выполняется полностью параллельно, так как матрица  $D$  состоит только из диагональных блоков.

Решение системы (6) в стандартном варианте алгоритма может быть выполнено различными способами, например, итерационными методами, применением алгоритма SPIKE рекурсивно и др. Если матрица  $A$  имеет диагональное преобладание, то вместо системы (6) решается ее усеченный вариант без внедиагональных блоков. Тогда в процессе решения требуется передать лишь блок  $W_{k+1}^t$  с  $k + 1$ -го на  $k$ -й процессор и получить обратно блок решений, что увеличивает степень параллельности данного алгоритма. Измененный таким образом вариант алгоритма называется усеченным алгоритмом SPIKE.

В нашем случае матрица системы не имеет диагонального преобладания, поскольку “степень” ее диагонального преобладания  $\delta$ , которая вычисляется как  $\delta = \frac{|a_{ii}|}{\sum_{i \neq j} |a_{ij}|}$ , имеет порядок 0.4. Поэтому мы сочли

возможным использовать усеченный вариант алгоритма с контролем точности решения. Вычислительные эксперименты показали, что в нашем случае значение  $\|F - AX\|_\infty$  имело порядок  $10^{-12}$ .

**3. Особенности использования библиотеки из языка C++.** Библиотека Intel Adaptive SPIKE Solver (версия от 23.02.2010 г.) рассчитана для использования из языков FORTRAN 90/95 и C, однако при использовании этой библиотеки из языка C++ возник ряд проблем.

**3.1. Ошибки компоновки при использовании библиотеки Intel Adaptive SPIKE-Based Solver из языка C++.** При использовании из языка C++ скомпилированных библиотек, написанных на языке C, требуется, чтобы экспортируемые из данной библиотеки функции были помечены с использованием директивы extern “C”. Это приведет к тому, что компилятор языка C++ будет игнорировать особенности разрешения имен, специфические для языка C++, такие как пространства имен, функции-члены, перегрузку функций и шаблоны. В заголовочных файлах библиотеки Intel Adaptive SPIKE Solver данная директива отсутствует, поэтому при компоновке возникают ошибки невозможности разрешения имен. Это можно исправить либо добавлением указанных директив в заголовочные файлы, либо включать заголовочный файл. Ниже показан способ включения заголовочных файлов библиотеки Intel Adaptive

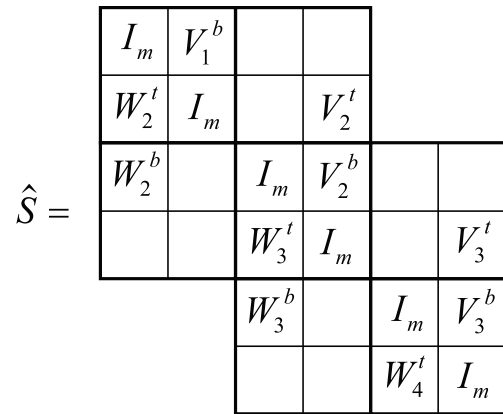


Рис. 3. Вид матрицы сокращенной системы для случая распределения матрицы  $A$  на 4 процессора

SPIKE-Based Solver из языка C++:

```
extern "C" {
#include <spike.h>
}
```

**3.2. Параллельное транспонирование ленточной матрицы.** Библиотека Intel Adaptive SPIKE-Based Solver написана на языке FORTRAN, в котором исторически матрицы представляются в виде двумерного массива по столбцам. В языках C и C++, в свою очередь, предполагается, что матрицы представлены по строкам. При вызове функций библиотеки Intel Adaptive SPIKE-Based Solver в качестве данных требуется указывать описатели динамически выделяемых массивов языка FORTRAN. В поставке библиотеки присутствуют функции выделения, удаления и доступа к элементам таких массивов, однако это приводит к увеличению потребления памяти, поскольку сформированную матрицу жесткости требуется переносить из массива, в который она формируется, в массив, понятный среде исполнения FORTRAN.

Для экономии памяти можно транспонировать полученную матрицу и заполнить структуры данных, описывающие эту матрицу для среды выполнения языка FORTRAN.

Операция параллельного транспонирования ленточной матрицы  $M$  размерности  $n \times n$  с лентой полуширины  $\beta$ , хранимой в сжатой ленточной форме, происходит следующим образом. Допустим, что матрица  $M$  разбита на  $p$  матриц  $M_i$  порядка  $n_i$ ,  $i = 1, \dots, p$ ,  $n_i > 2\beta$ . Каждую матрицу  $M_i$  можно разбить на подматрицы  $H_i$  ( $i = 1, \dots, p$ ), которые можно транспонировать независимо друг от друга, и на подматрицы  $J_i$  ( $i = 2, \dots, p$ ) и  $K_i$  ( $i = 1, \dots, p-1$ ), данные в которых надо поменять местами для транспонирования матрицы  $M$ . Пример разбиения матрицы на три матрицы показан на рис. 4. Для улучшения параллельных свойств алгоритма требуется производить вычисления таким образом, чтобы иметь возможность совмещать вычисления и передачу данных. Таким образом, для  $i$ -го процессора параллельный распределенный алгоритм транспонирования ленточной матрицы будет выглядеть следующим образом.

Скопировать содержимое матриц  $J_i$  и  $K_i$  в буферы для передачи данных. Запустить асинхронную передачу матрицы  $J_i$  на процессор с номером  $i-1$  и матрицы  $K_i$  — на процессор  $i+1$ , а также запустить асинхронный прием матриц  $K_{i-1}$  и  $J_{i+1}$ . Транспонировать матрицу  $H_i$ . Завершить асинхронную передачу данных или дождаться ее завершения. Скопировать полученное содержимое матрицы  $J_{i-1}$  на место матрицы  $K_i$  и содержимое матрицы  $K_{i+1}$  на место матрицы  $J_i$ .

**4. Результаты вычислительных экспериментов.** Решалась задача конечно-элементного моделирования процесса сжатия упругопластического цилиндра при использовании регулярной конечно-элементной сетки с одинаковым количеством разбиений  $d$  по обеим осям.

Вычислительные эксперименты проводили на кластере um64 Института математики и механики УрО РАН. Кластер состоит из 32 двухпроцессорных двухъядерных модулей на базе процессоров AMD Operton с тактовой частотой 2.6 ГГц. Для вычислительных экспериментов использовали версию библиотеки Intel Adaptive SPIKE-Based Solver от 23 февраля 2010 г. и библиотеку ScaLAPACK, реализация которой входит в Intel MKL версии 10.0.010. Для межпроцессорной коммуникации использовалась библиотека OpenMPI версии 1.3.3 на сети InfiniBand. Для тестирования были взяты сетки с параметрами, представленными в таблице,  $\beta$  — полуширина матрицы жесткости.

Представленные значения ускорений вычислялись по формуле  $s = t_n/t_1$ , где  $t_1$  — время выполнения операции на одном процессоре, а  $t_n$  — время выполнения операции на  $n$  процессорах. Для сетки с  $d = 300$  за  $t_1$  мы приняли  $t_2$ , поскольку сформированная матрица жесткости не помещалась в память одного процессора используемой кластерной системы.

**4.1. Производительность усеченного алгоритма SPIKE при решении упругопластической задачи.** На рис. 5–7 представлена зависимость значения ускорений усеченного алгоритма SPIKE от количества процессоров  $p$  и количества разбиений сетки  $d$  соответственно для этапа разложения матрицы системы, этапа решения линейной системы с уже разложенной матрицей и этапа полного решения системы на шаге нагрузки упругопластической задачи. При полном решении линейной системы выполняются одно разложение и 15 решений с разложенной матрицей системы.

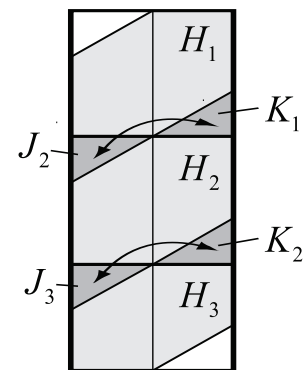


Рис. 4. Разбиение матрицы  $M$  для транспонирования при  $p = 3$

Параметры сеток

| $d$ | $\beta$ | $n$    | $\beta/n$ |
|-----|---------|--------|-----------|
| 100 | 205     | 20402  | 0.0100    |
| 150 | 305     | 45602  | 0.0067    |
| 200 | 405     | 80802  | 0.0050    |
| 300 | 605     | 181202 | 0.0033    |

Из рис. 5–7 видно, что рост производительности имеет место как при увеличении количества процессоров, так и при увеличении количества разбиений конечно-элементной сетки. Уменьшение производительности при использовании двух процессоров, наблюдающееся на рис. 6, а также более пологий наклон графиков на этом рисунке по сравнению с графиками для этапа разложения матрицы для небольших сеток, вызваны затратами времени на контроль точности решения.

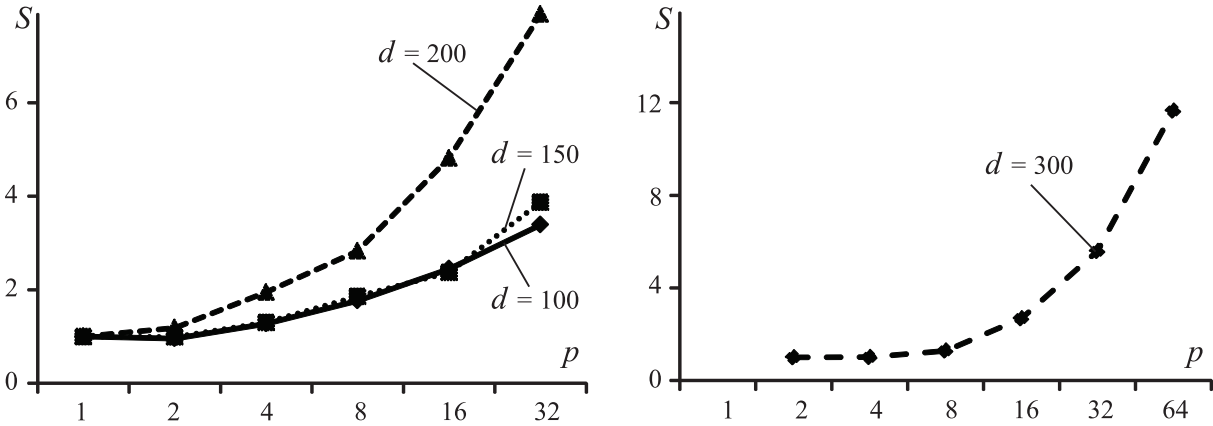


Рис. 5. Зависимость ускорений на этапе разложения матрицы системы алгоритма SPIKE от количества процессоров  $p$  и количества разбиений сетки  $d$

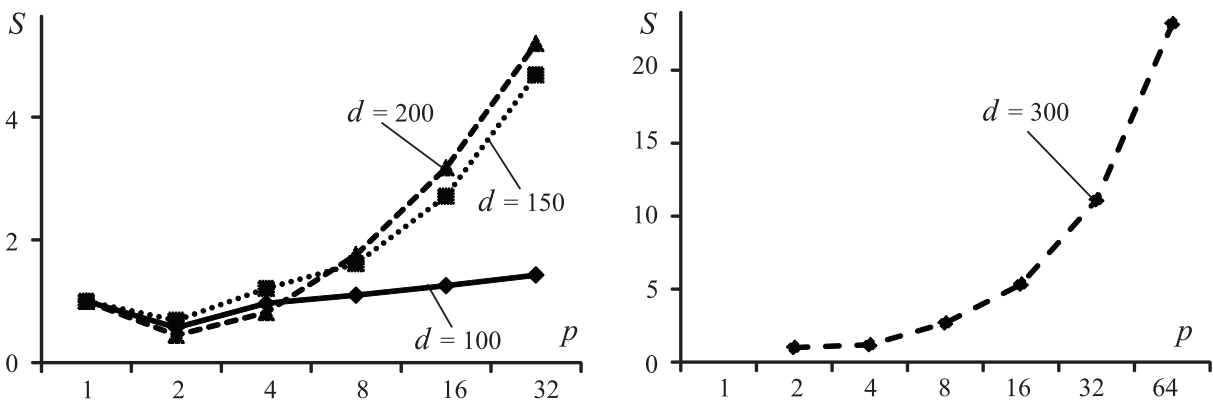


Рис. 6. Зависимость ускорений на этапе решения линейной системы с разложенной матрицей алгоритма SPIKE от количества используемых процессоров  $p$  и количества разбиений  $d$

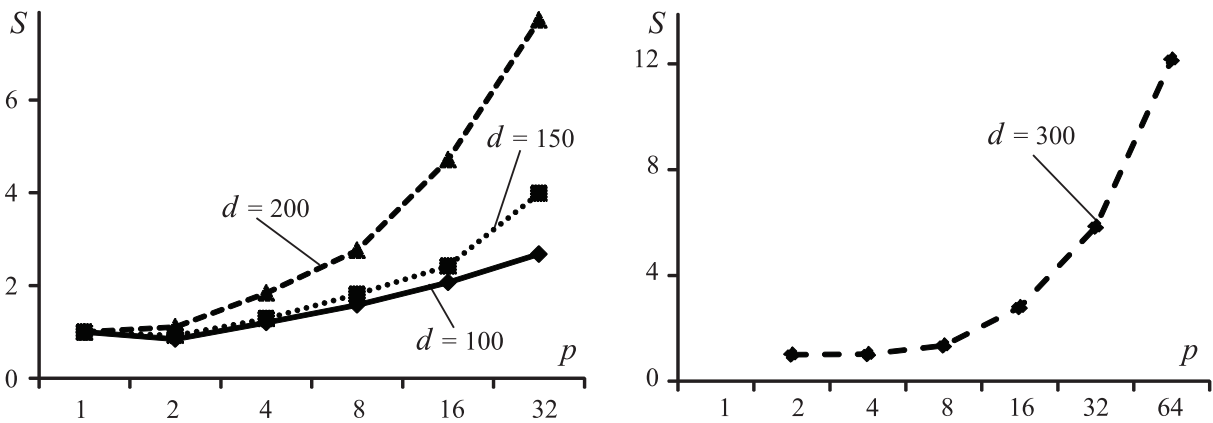


Рис. 7. Зависимость ускорений полного решения линейной системы внутри шага нагрузки упругопластической задачи для случая одного разложения и 15 решений

**4.2. Сравнение производительности усеченного алгоритма SPIKE и трехдиагонального алгоритма LU-разложения из библиотеки ScaLAPACK.** На рис. 8 предоставлено сравнение

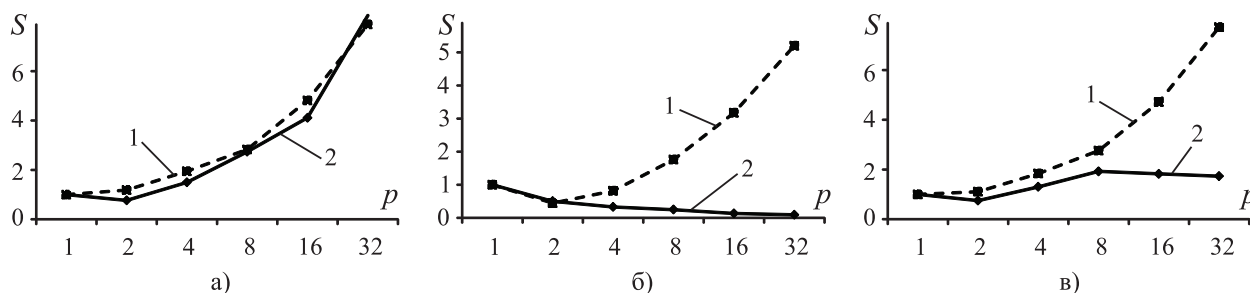


Рис. 8. Ускорение разложения (а), решения линейной системы (б) и полного решения системы (в) для сетки с количеством разбиений  $d = 200$ : 1) SPIKE; 2) ScaLAPACK

значений ускорений  $s$  решения линейной системы с использованием трехдиагонального параллельного алгоритма LU-разложения из библиотеки ScaLAPACK и усеченного алгоритма SPIKE, полученные при решении упругопластической задачи сжатия цилиндра с количеством разбиений  $d = 200$ . Исследование применимости трехдиагонального алгоритма LU-разложения для решения упругопластической задачи рассмотрено в работе [4].

Из рис. 8 следует, что при разложении матрицы системы усеченный алгоритм SPIKE на сетке с количеством разбиений  $d = 200$  имеет приблизительно ту же производительность, что и трехдиагональный алгоритм LU-разложения из библиотеки ScaLAPACK. На этапе решения системы уравнений с использованием разложенной матрицы усеченный алгоритм SPIKE имеет значительно лучшую производительность, чем трехдиагональный алгоритм. Трехдиагональный алгоритм LU-разложения имеет коэффициент ускорения  $s < 1$  при использовании более одного процессора, однако усеченный алгоритм SPIKE имеет коэффициент ускорения  $s > 1$  при использовании более 4 процессоров. При дальнейшем увеличении количества процессоров коэффициент ускорения продолжает увеличиваться.

СПИСОК ЛИТЕРАТУРЫ

1. Поздеев А.А., Трусов П.В., Няшин Ю.И. Большие упруго-пластические деформации. М.: Наука, 1986.
2. Демешко И.П., Акимова Е.Н., Коновалов А.В. Применение параллельных алгоритмов для решения системы линейных алгебраических уравнений с ленточной матрицей итерационными методами на кластерной системе // Тр. междунар. конф. “Параллельные вычислительные технологии (ПаВТ-2009)”. Нижний Новгород. 30 марта–3 апреля 2009. Челябинск: Изд-во ЮУрГУ, 2009. 444–449.
3. Blackford L.S., Choi J., Cleary A., D’Azevedo E., et al. ScaLAPACK User’s Guide. 1997. URL: <http://www.netlib.org/scalapack/slug>.
4. Коновалов А.В., Толмачев А.В., Партин А.С. Опыт применения параллельного алгоритма LU-разложения для решения линейных систем уравнений в упругопластических задачах // Тр. междунар. конф. “Параллельные вычислительные технологии (ПаВТ-2010)”. Уфа. 29 марта–2 апреля 2010. Челябинск: Изд-во ЮУрГУ, 2010. 498–506.
5. Polizzi E., Sameh A. SPIKE: A parallel environment for solving banded linear systems // Computers & Fluids. 2007. **36**. 113–120.
6. Polizzi E., Sameh A. A parallel hybrid banded system solver: the SPIKE algorithm // Parallel Comput. 2006. **32**. 177–194.
7. Кормен Т.Х., Лейзерсон Ч.И., Ривест Р.Л., Штайн К. Алгоритмы: построение и анализ. М.: Вильямс, 2008.

Поступила в редакцию  
14.03.2011